SITUACION DE MUESTRAS

E. 1: 50.000

INSTITUTO GEOLOGICO Y MINERO DE ESPAÑA

PUENTE - CALDELAS	186
	5-10

LEYENDA

CUATERNARIO	QAl	QAl	Aluviales (23)
ORDOVICICO - INFERIOR PRECAMBRICO	$PC-O_{1a}$ / $PC-O_{1ap}$	$PC-O_{1ap}$	Ampelitas y cuarcitas negras (22)
	$PC-O_{1b}$ / $PC-O_{1b}M$	$PC-O_{1b}M$	Cuarcitas blancas tableadas con lechos pizarrosos y metamorfismo de contacto (21)
	$PC-O_{1c}$ / $PC-O_{1c}M$	$PC-O_{1c}$	Cuarcitas blancas tableadas con lechos pizarrosos (20)
	$PC-O_{1d}$ / $PC-O_{1d}M$	$PC-O_{1d}M$	Anfibolitas con metamorfismo de contacto (19)
	$PC-O_{1e}$ / $PC-O_{1e}M$	$PC-O_{1e}$	Anfibolitas (18)
	$PC-O_{1f}$ / $PC-O_{1f}M$	$PC-O_{1f}M$	Esquistos verdes albíticos y micoesquistos con estaurolita y/o andalucita (17)
	$PC-O_{1g}$ / $PC-O_{1g}M$	$PC-O_{1g}$	Esquistos verdes albíticos y micoesquistos grises (16)

ROCAS METAMORFICAS

ζ^2_{LL} / ζ^2_{LL}	ζ^2_{LL}	Neises con sillimanita (15)
	ζ^2	Neises glandulares (14)

ROCAS GRANITICAS

PRE-SINCINEMATICAS FASE 3

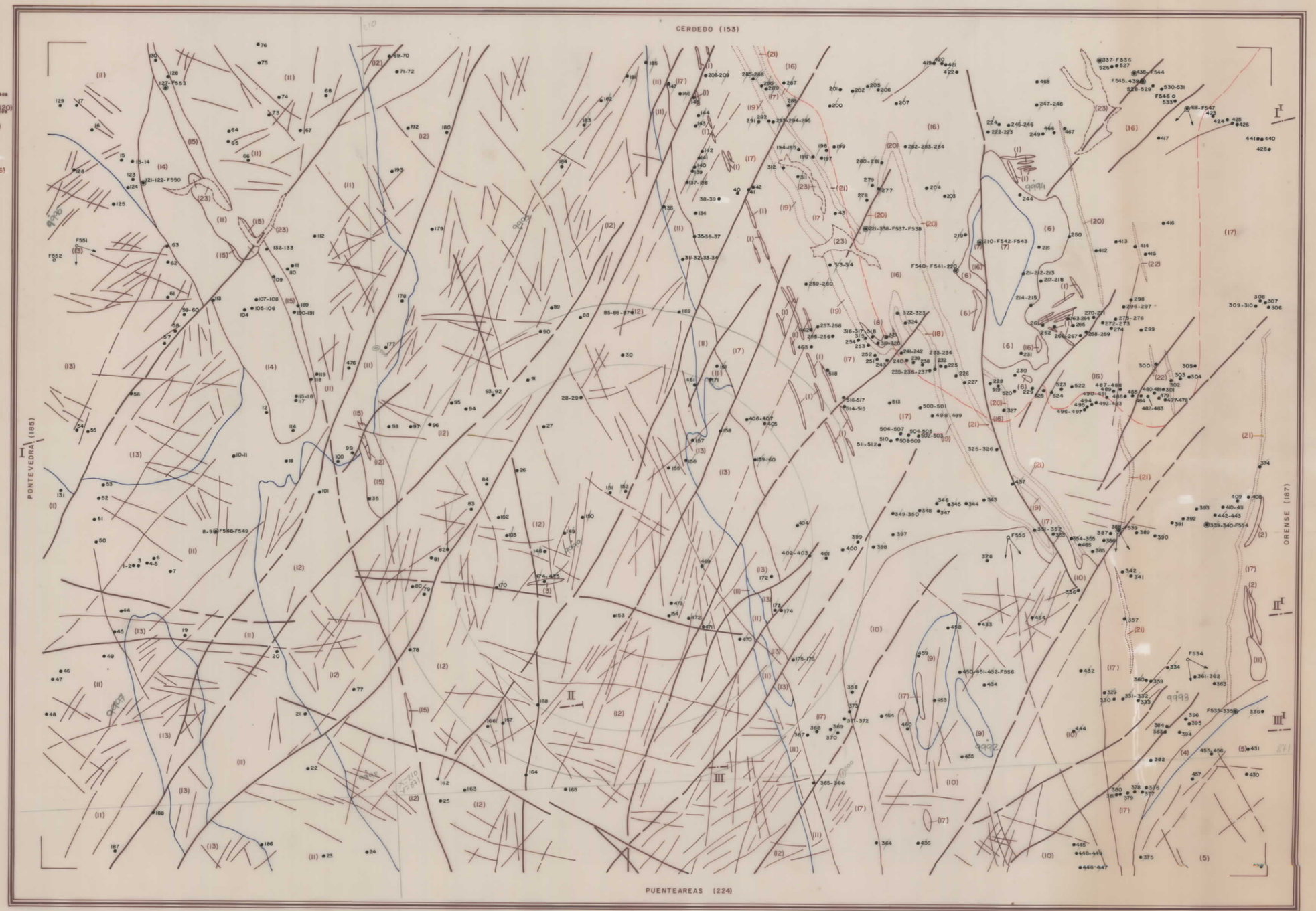
$_1\gamma^2$ / $_2\gamma^2$ / $_{3-4}\gamma^2$	$_1\gamma^2$	Granito de dos micas con megacristales (13)
	$_2\gamma^2$	Granito de dos micas grano grueso (12)
	$_{3-4}\gamma^2$	Granito de dos micas grano medio-fino (11)
$_2\gamma\eta^2_b$ / $_{3-4}\gamma\eta^2_b$	$_2\gamma\eta^2_b$	Granodiorita precoz (10)
	$_{3-4}\gamma\eta^2_b$	Granodiorita precoz de grano medio-fino (9)
$_p\gamma^2$	$_p\gamma^2$	Granito porfidoclástico (8)

TARDIAS

$_2\gamma^{2-3}$ / $_{3-4}\gamma^{2-3}$	$_2\gamma^{2-3}$	Granito de Bearíz grano grueso (7)
	$_{3-4}\gamma^{2-3}$	Granito de Bearíz grano medio-fino (6)
$^b_{2-3}\gamma\eta^{2-3}_b$ / $_4\gamma\eta^{2-3}_b$	$^b_{2-3}\gamma\eta^{2-3}_b$	Granodiorita tardía (5)
	$_4\gamma\eta^{2-3}_b$	Granodiorita tardía de borde (grano fino) (4)

ROCAS FILONIANAS

FE	Diabasa (3)
FP^2	Pegmatitas (2)
Fo^2	Filones ácidos mineralizados (1)



NORMAS, DIRECCION Y SUPERVISION DEL I.G.M.E.

Muestras de la 1 a la 533 VM